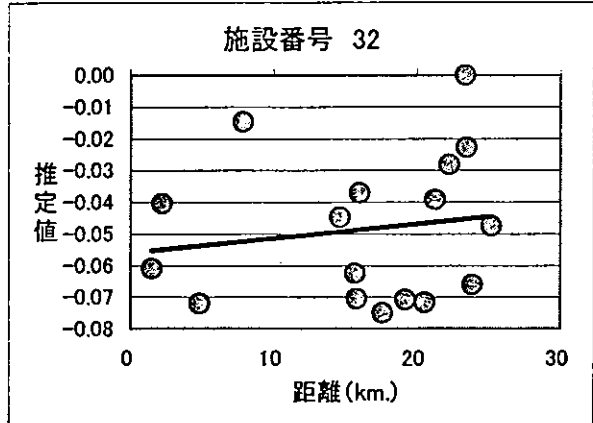
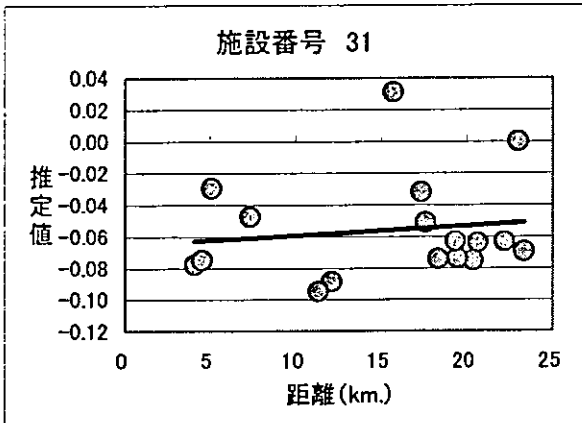
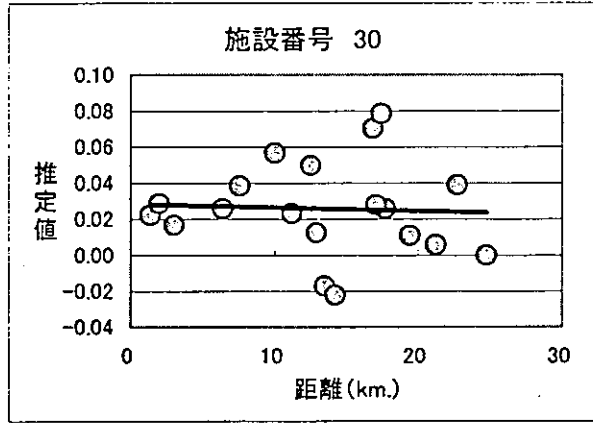
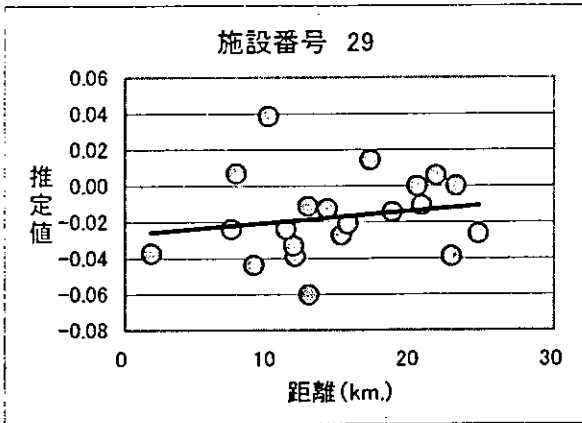
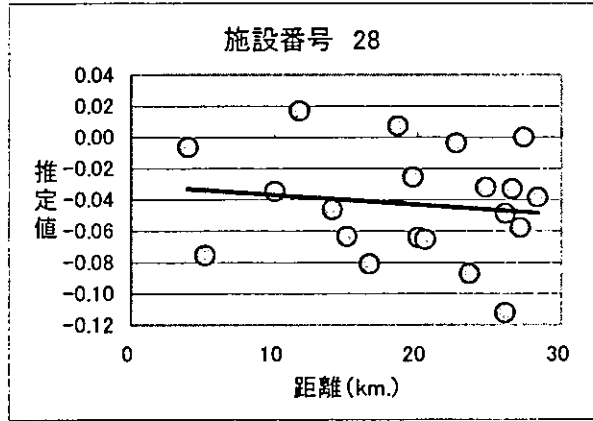
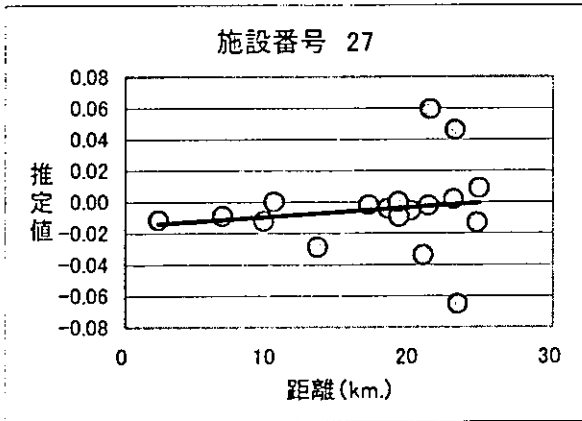
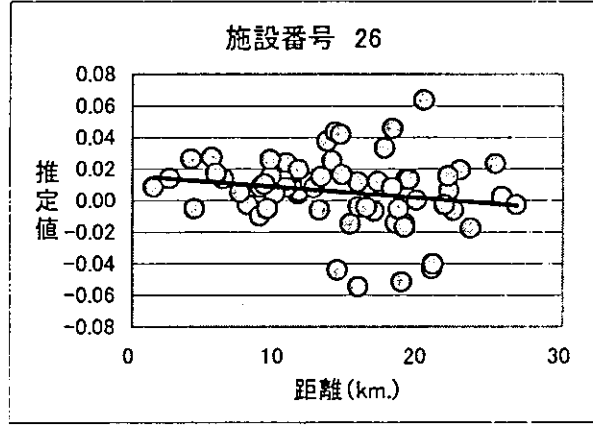
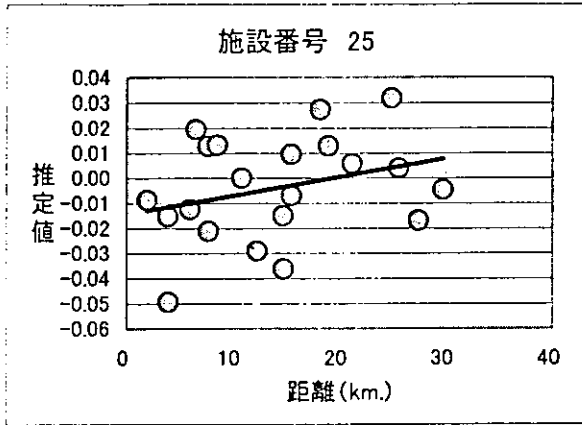
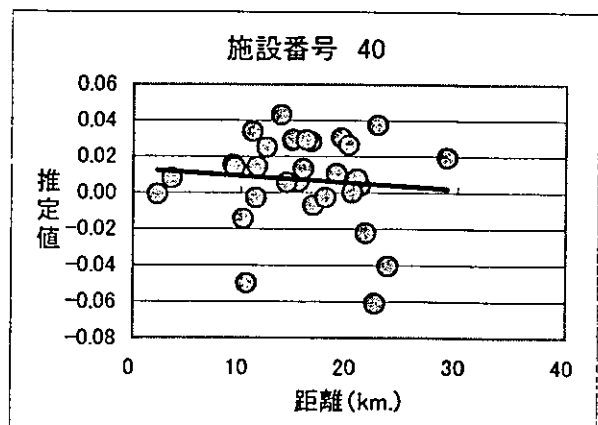
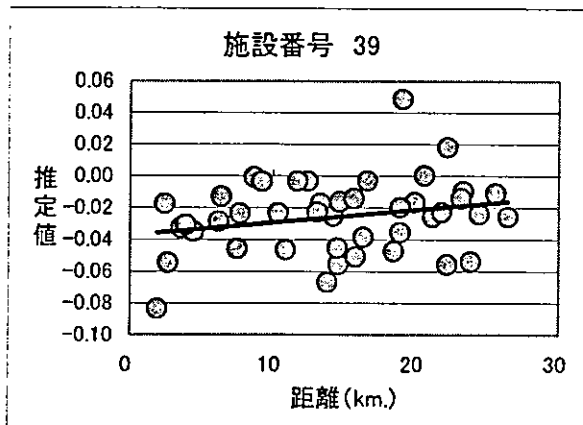
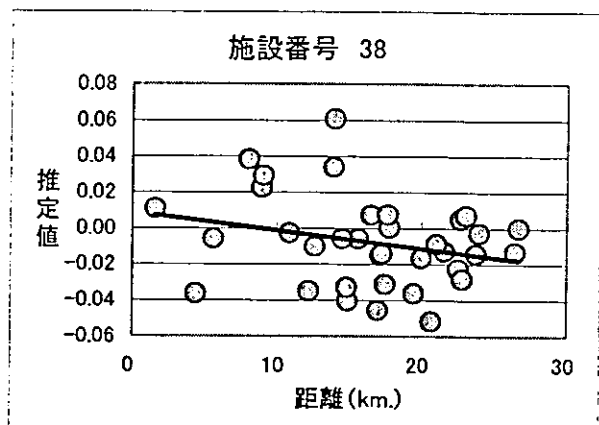
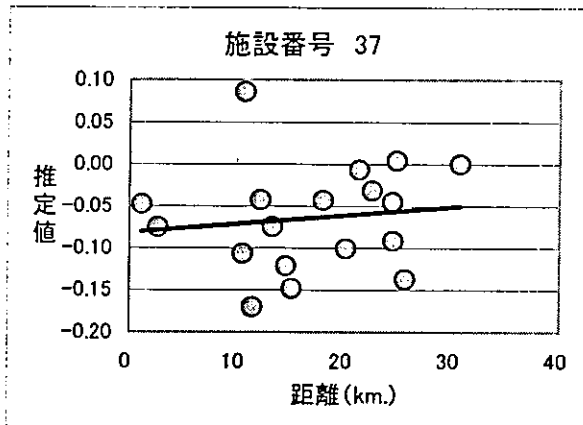
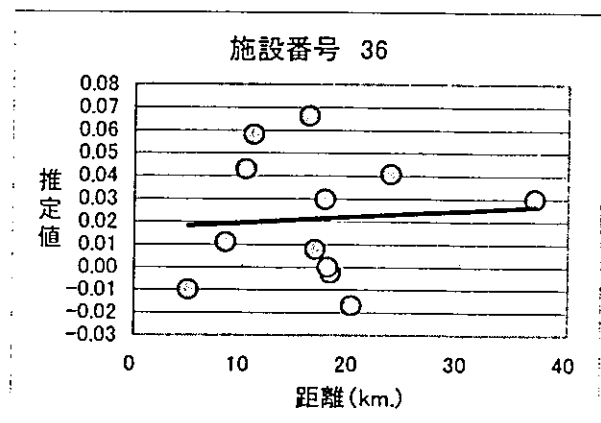
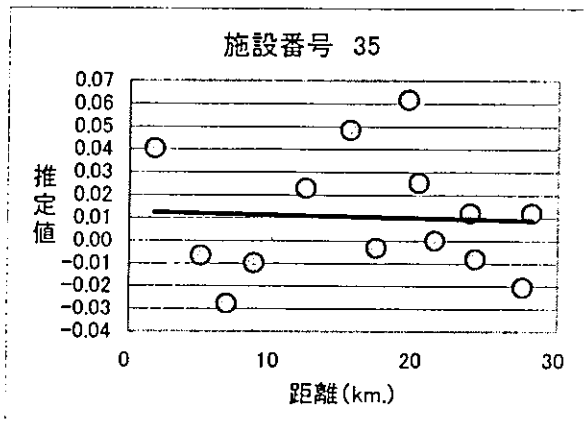
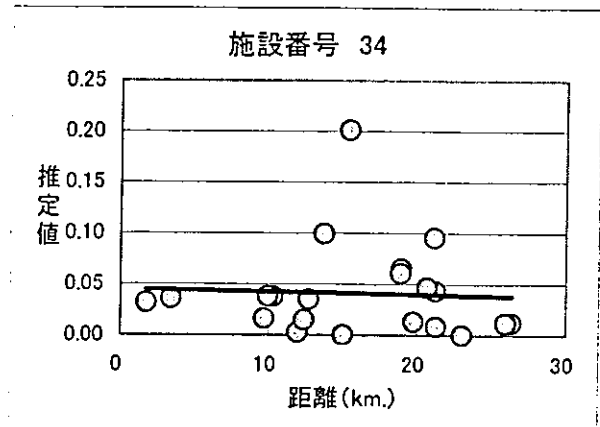
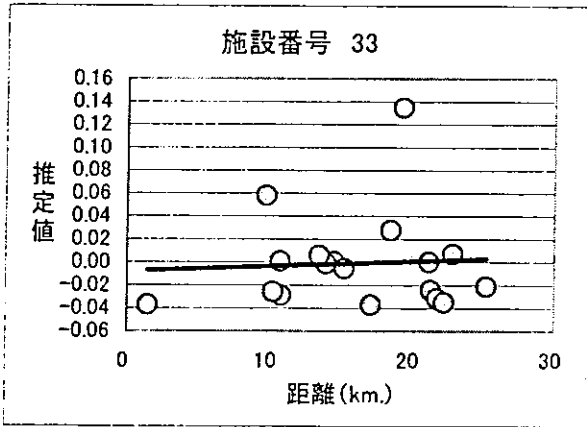


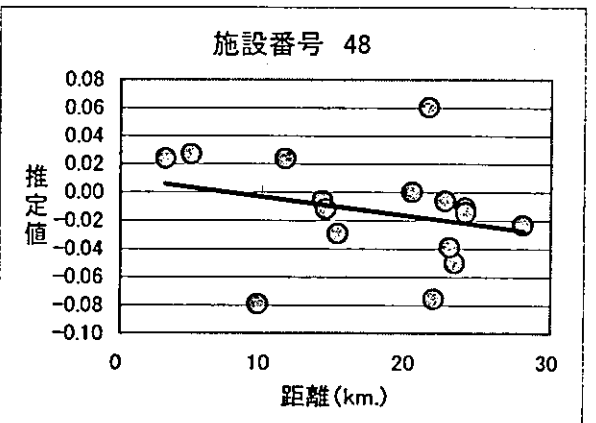
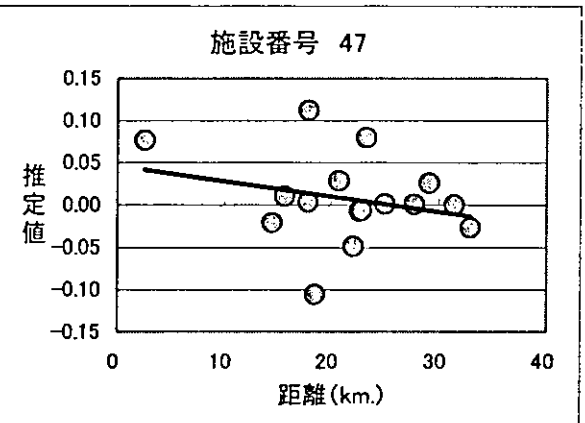
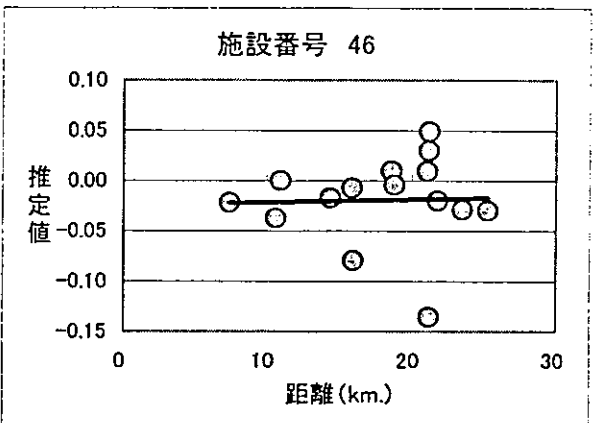
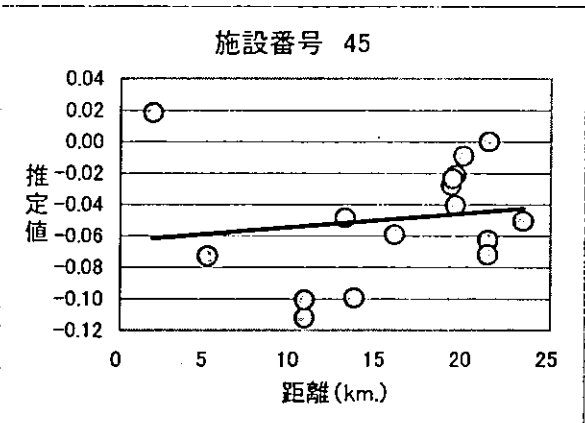
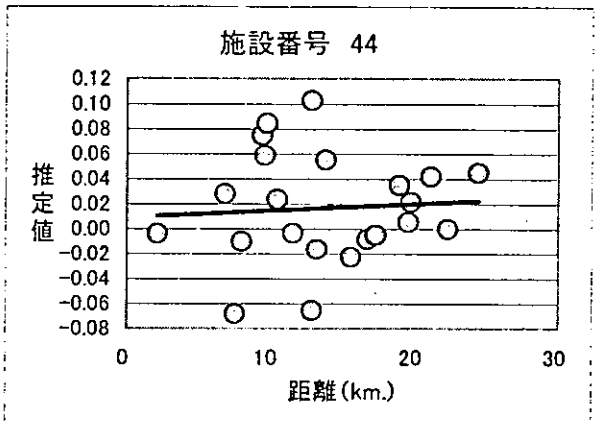
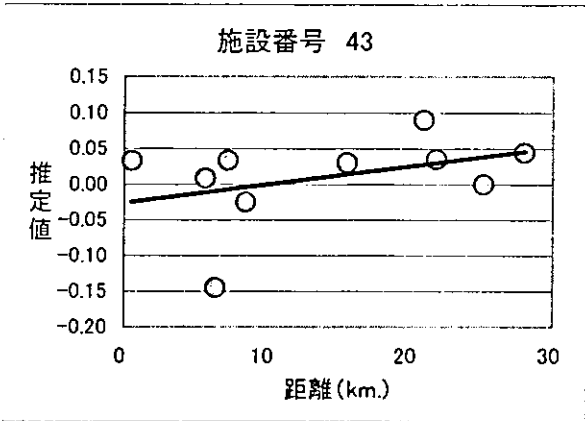
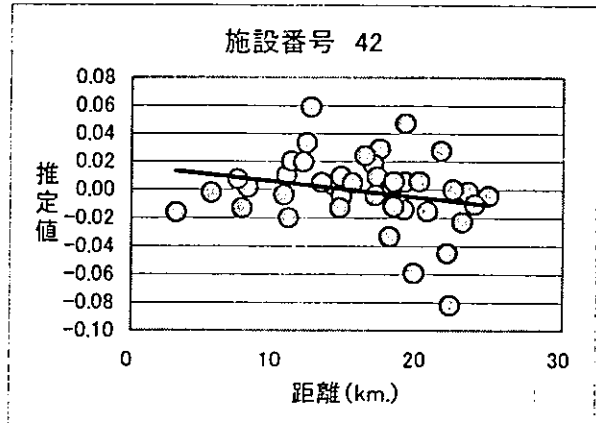
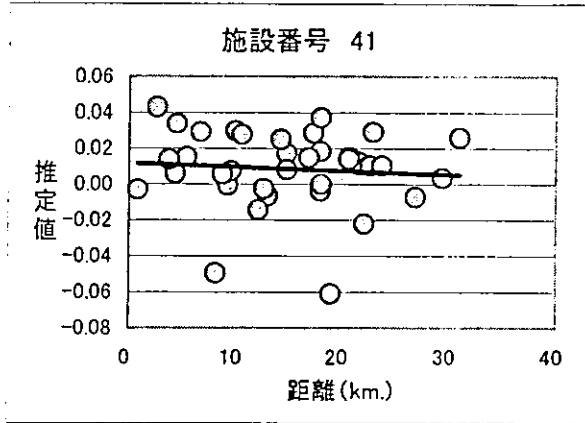
Model 1 全悪性腫瘍



Model 1 全悪性腫瘍



Model 1 全恶性腫瘍



Model 1 全悪性腫瘍

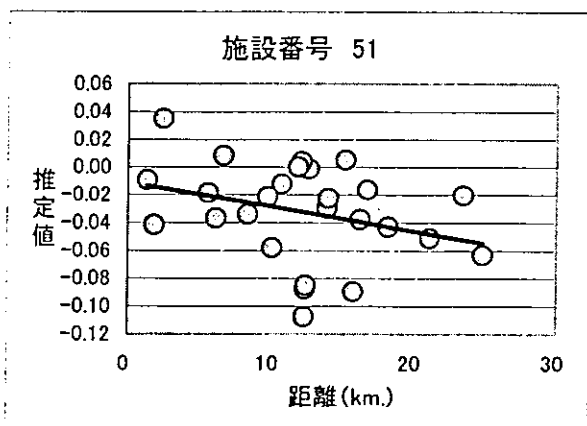
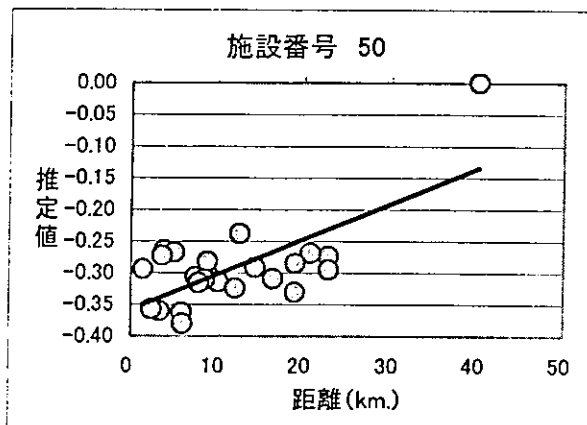
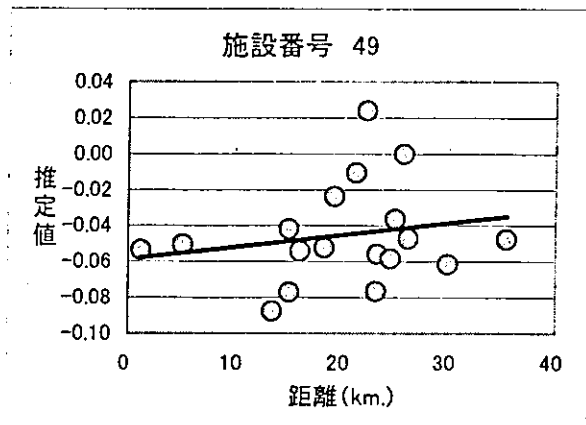
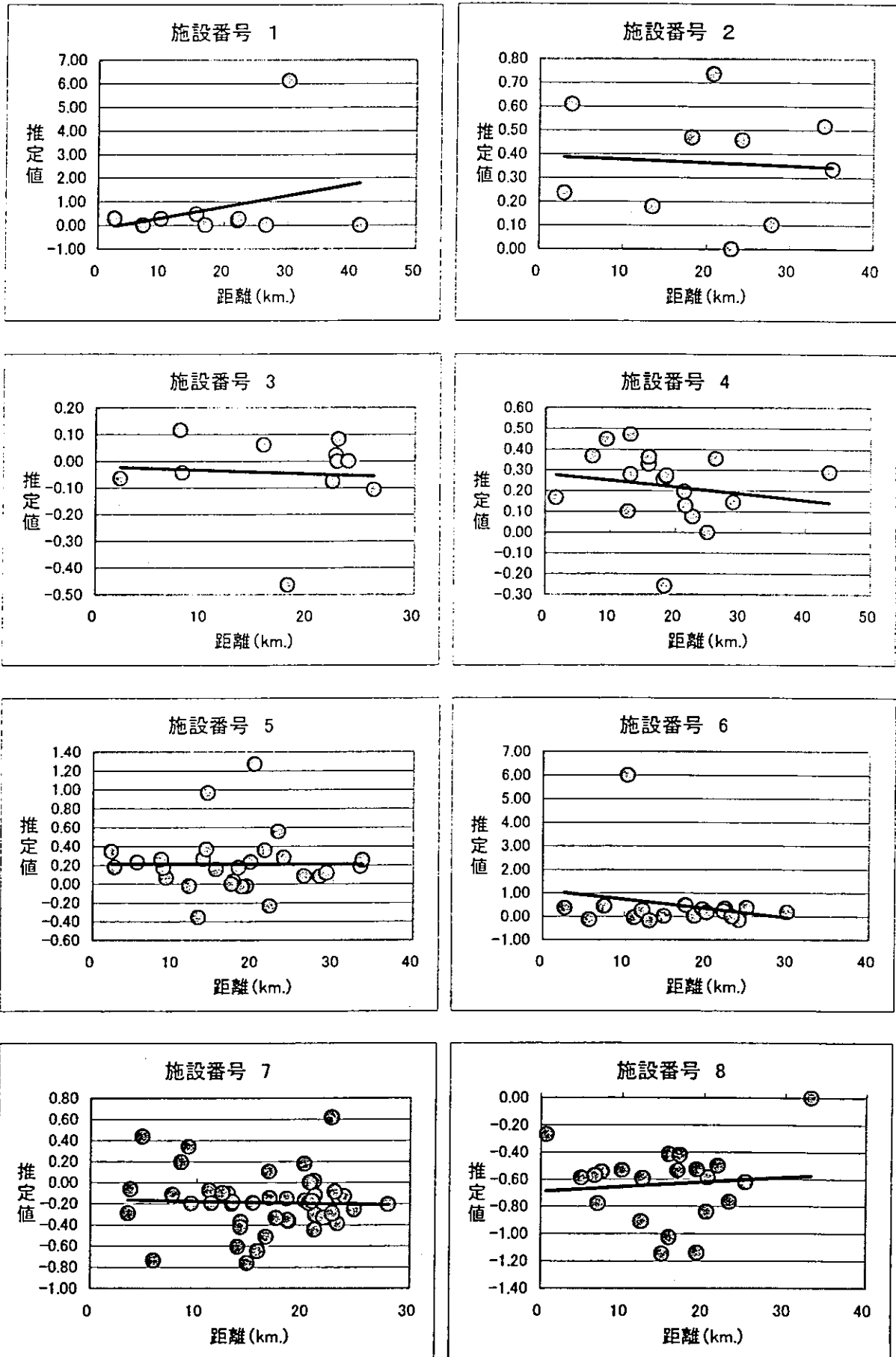
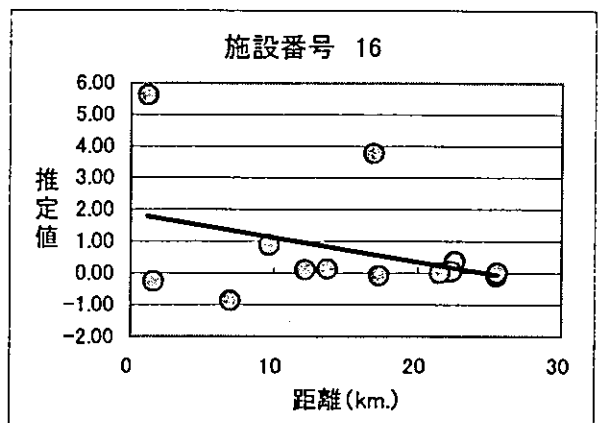
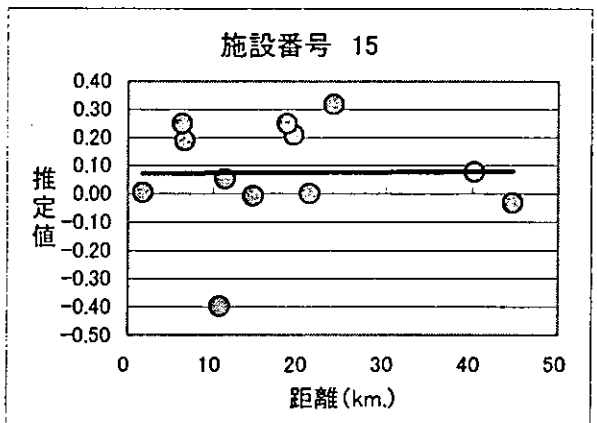
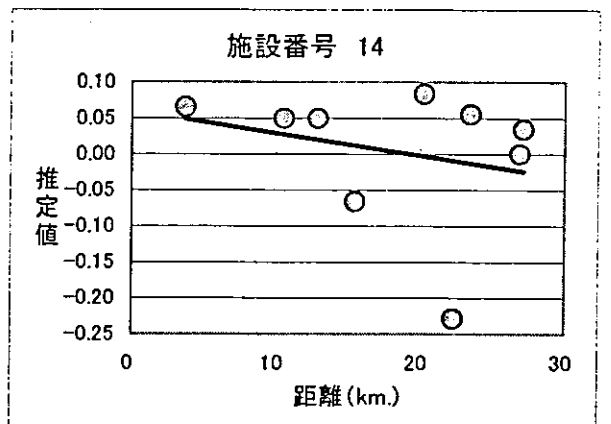
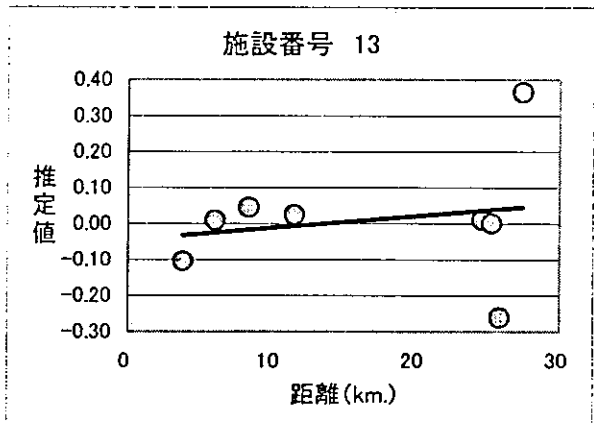
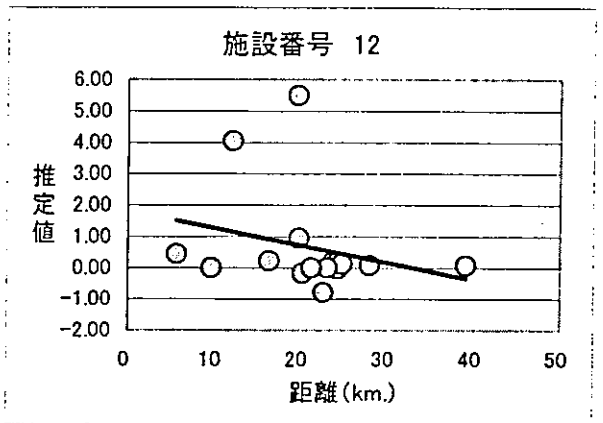
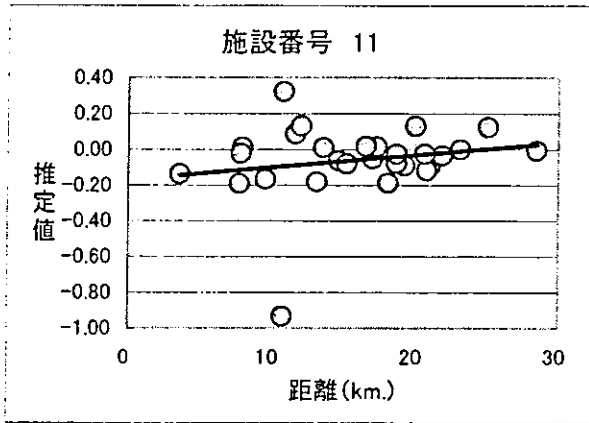
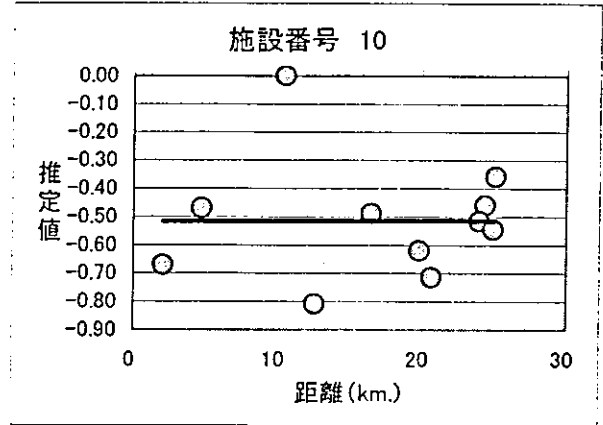
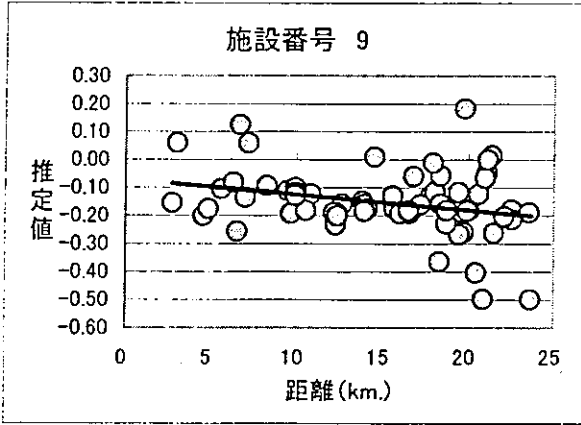


図3, 悪性リンパ腫について、焼却施設毎にModel 1での地区毎の傾きの推定値  $\theta$  を y 軸に、施設からの距離  $x$  (単位、km) x 軸とした散布図と単純回帰直線 ( $\theta = a+bx$ )。

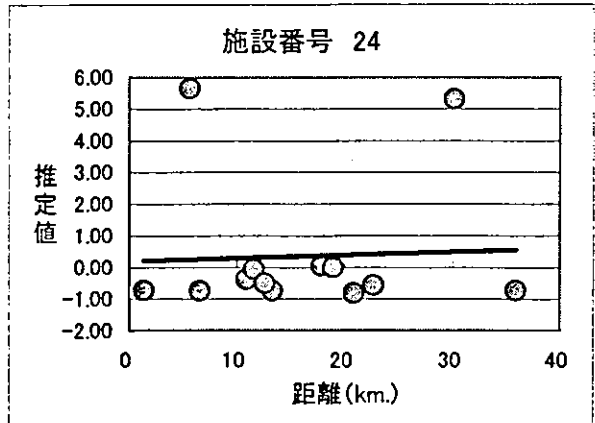
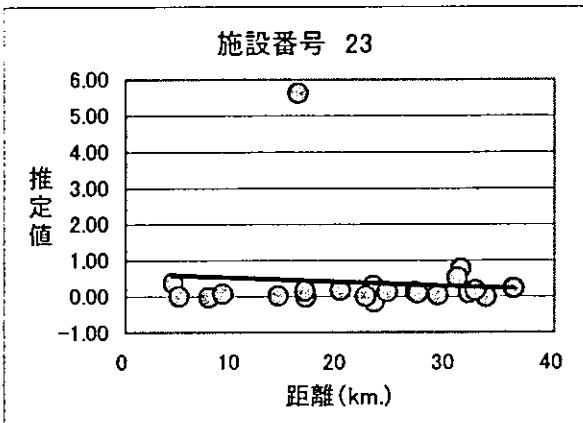
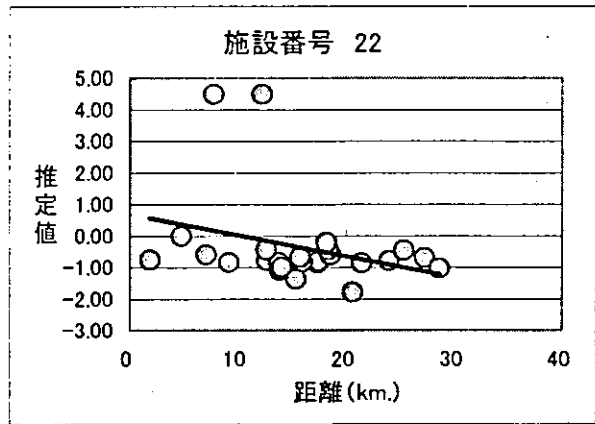
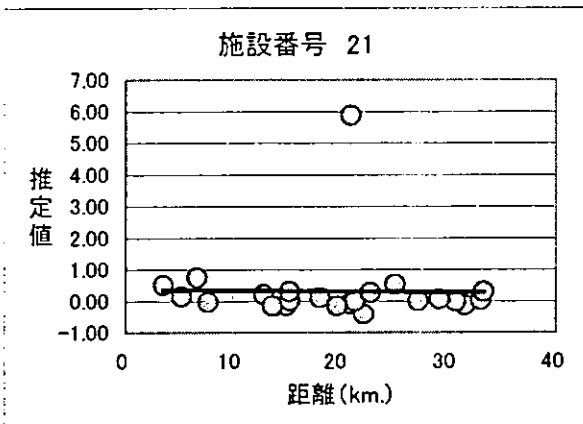
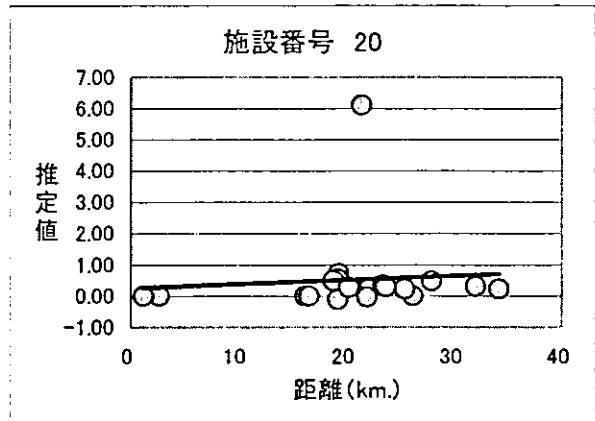
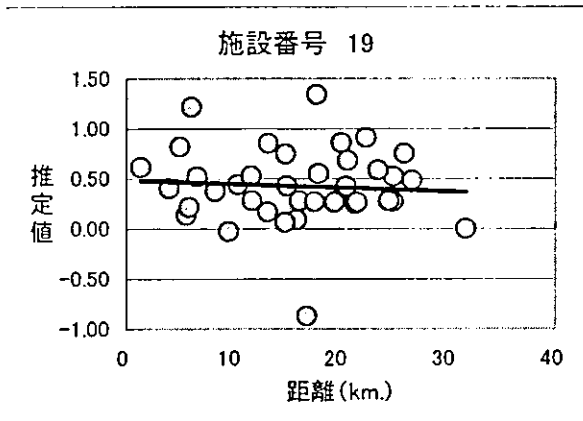
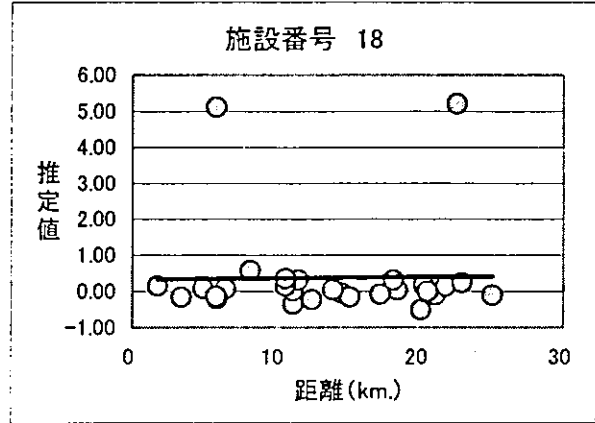
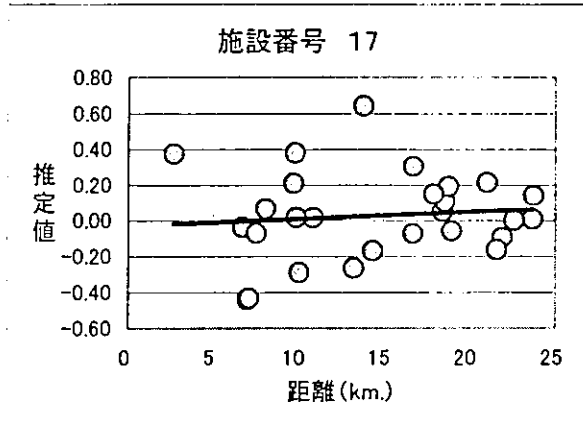
Model 1 悪性リンパ腫



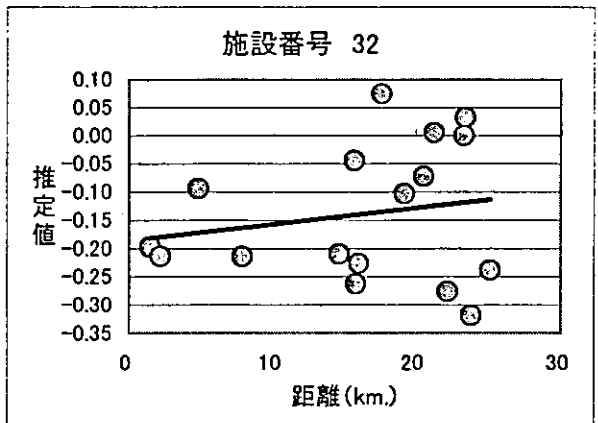
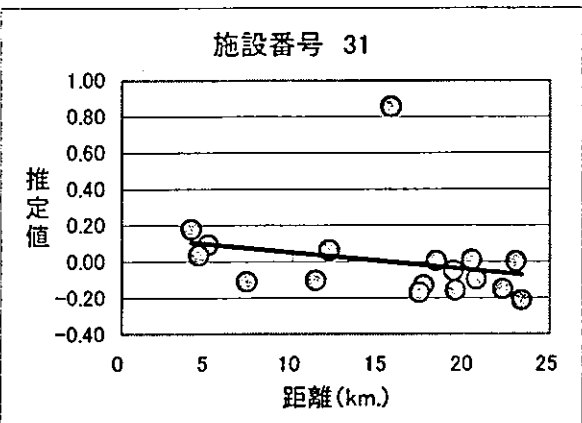
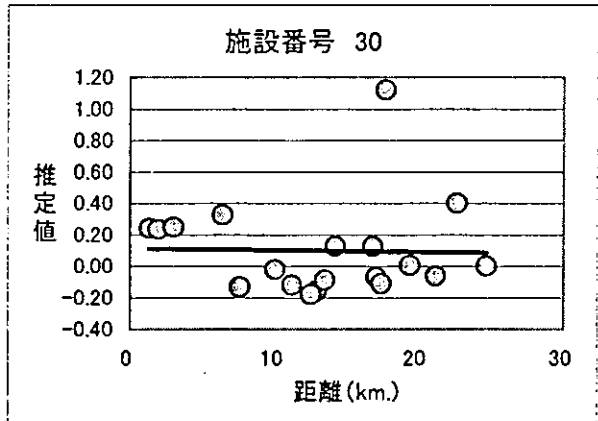
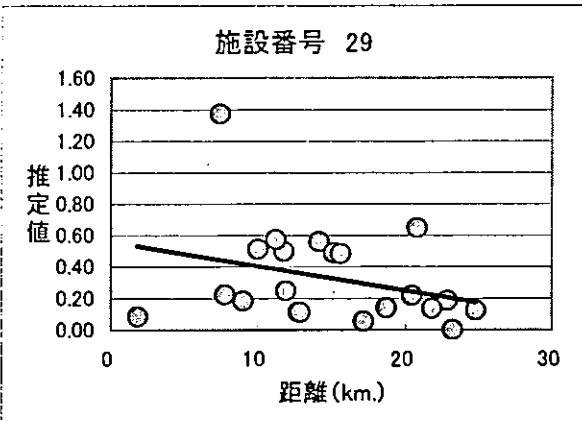
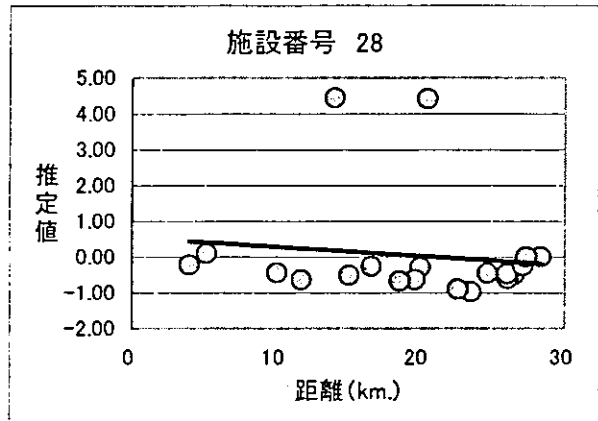
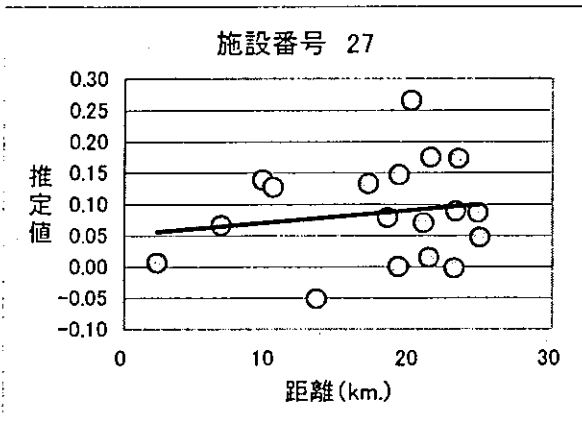
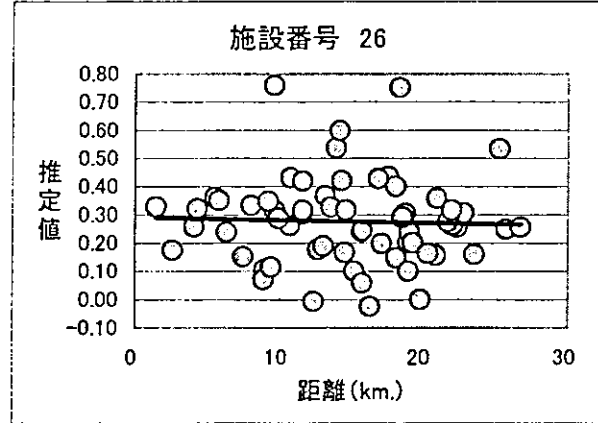
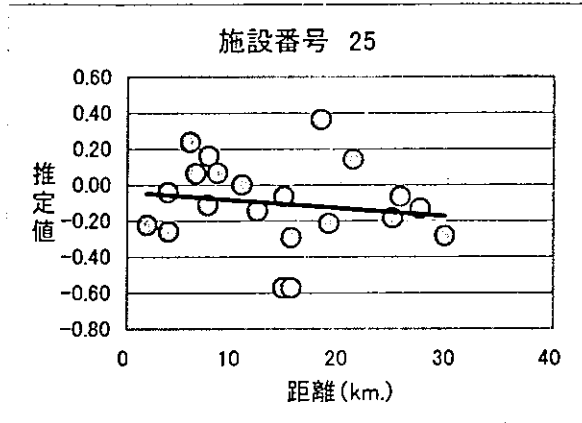
Model 1 悪性リンパ腫



Model 1 悪性リンパ腫

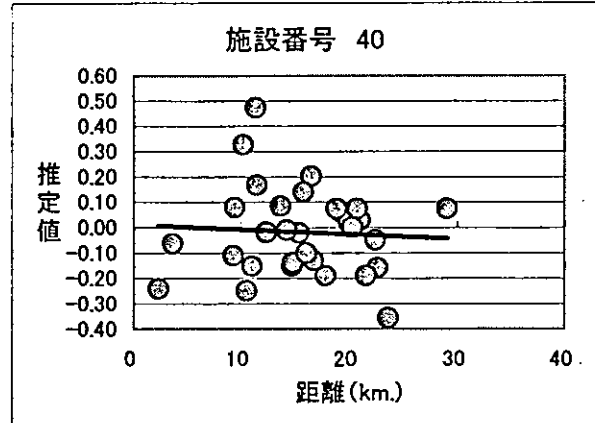
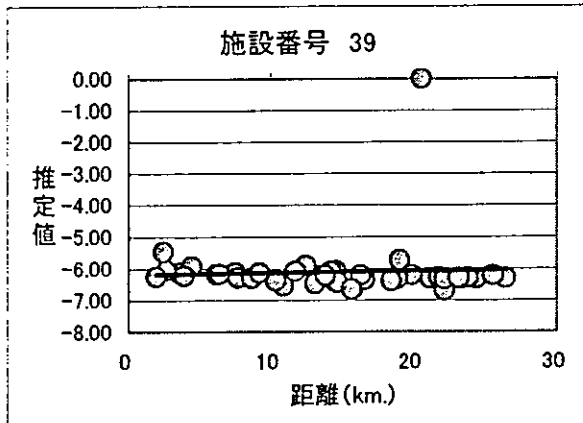
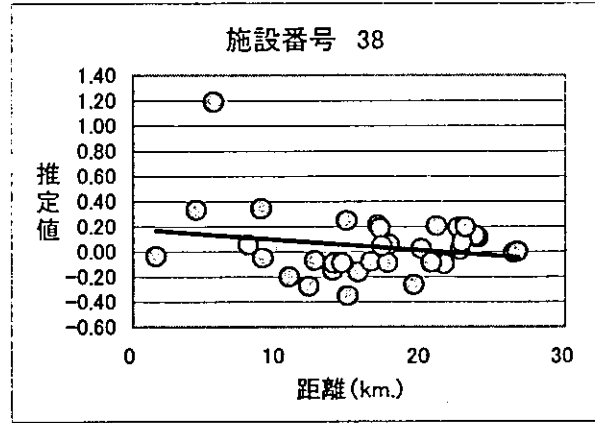
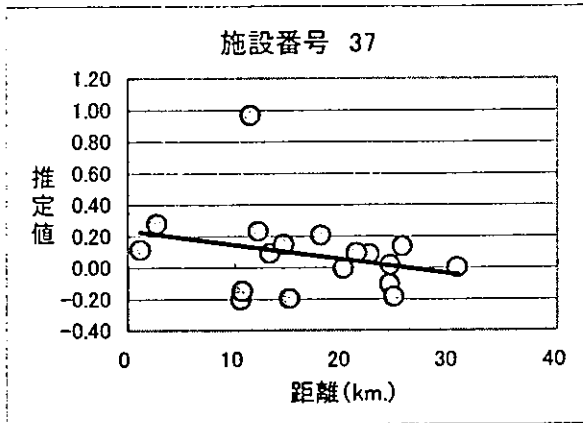
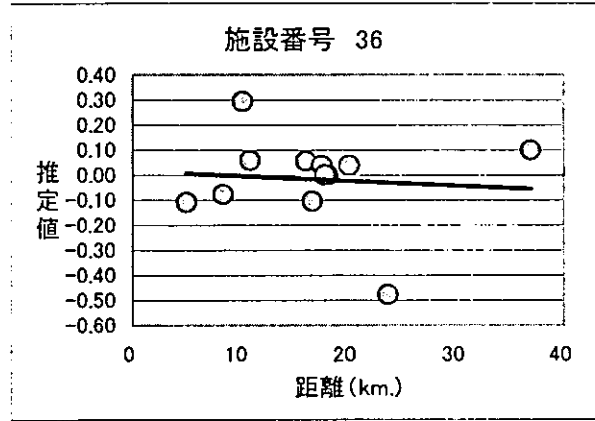
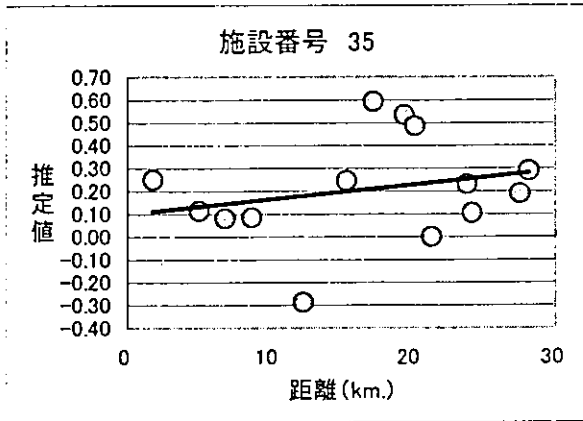
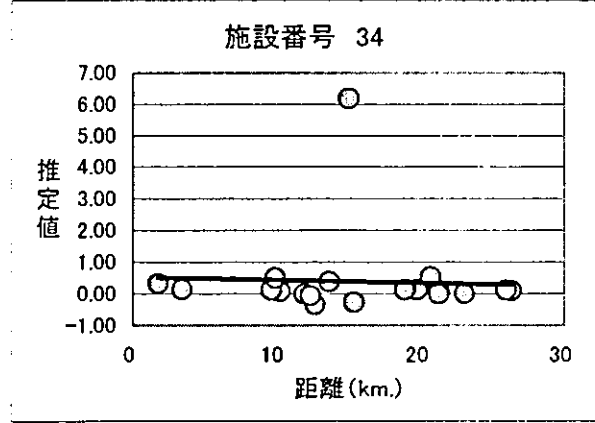
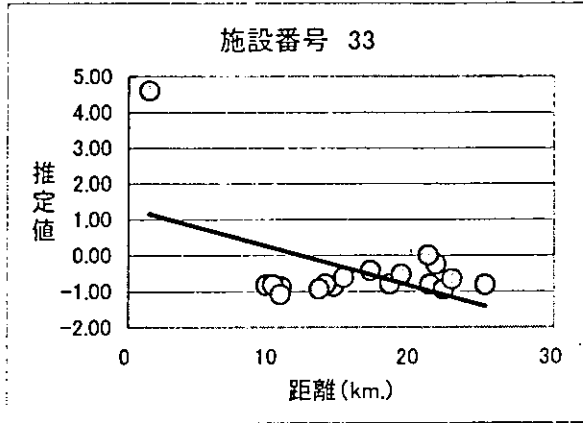


Model 1 悪性リンパ腫

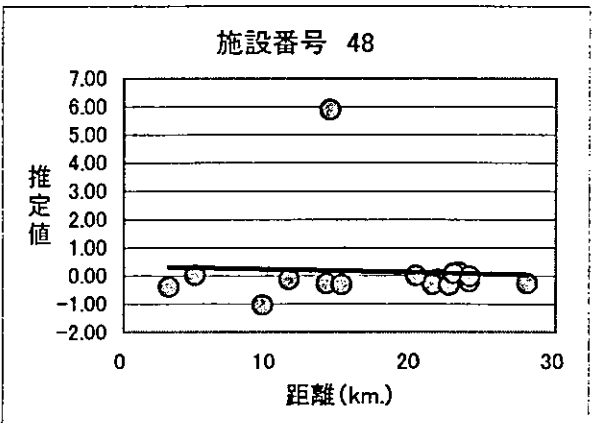
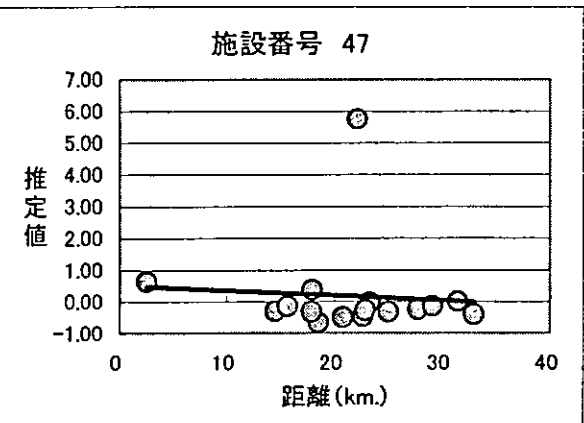
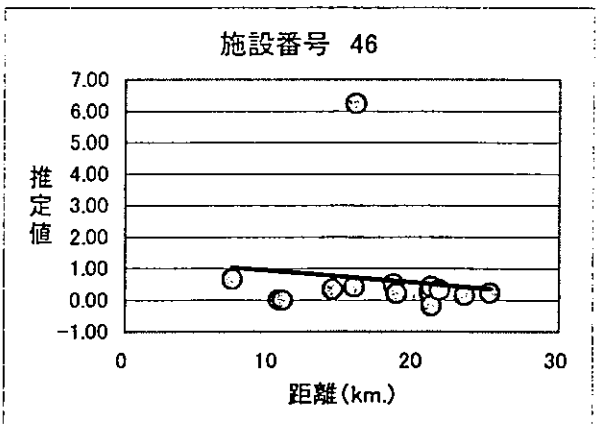
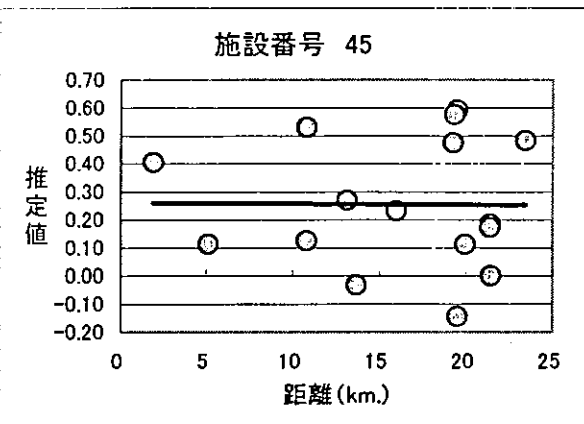
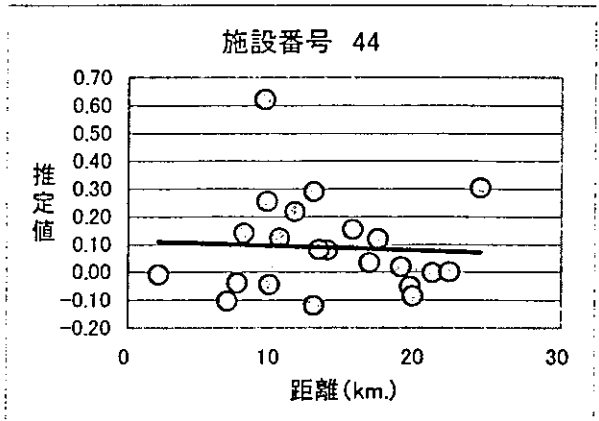
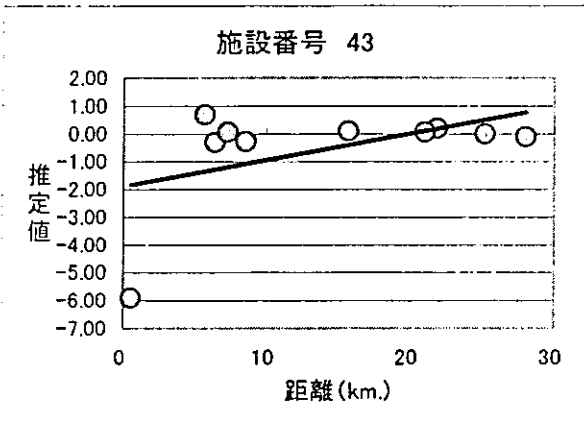
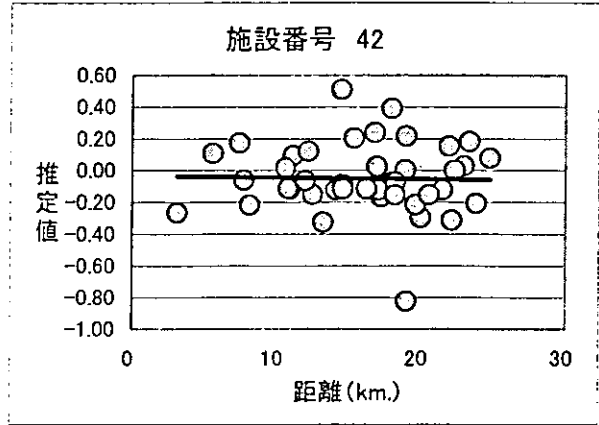
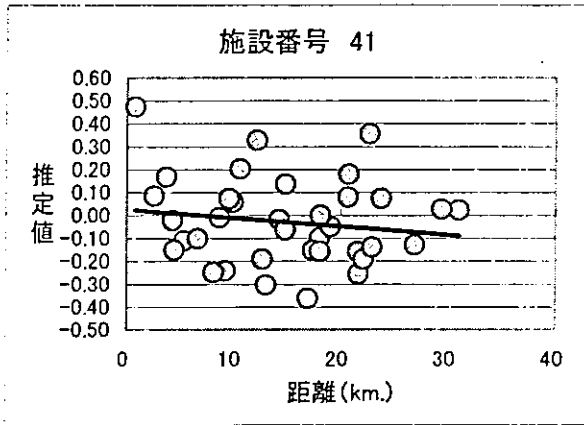




Model 1 悪性リンパ腫



Model 1 悪性リンパ腫



Model 1 悪性リンパ腫

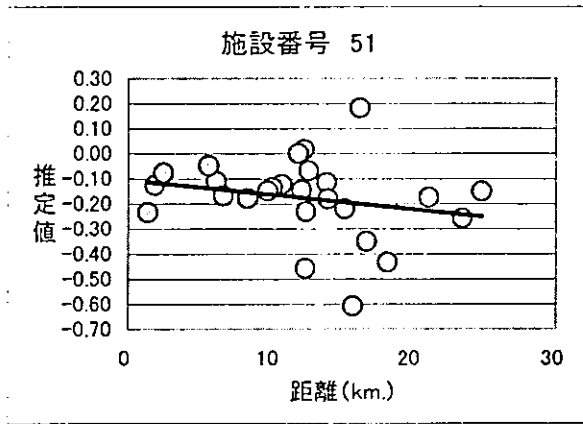
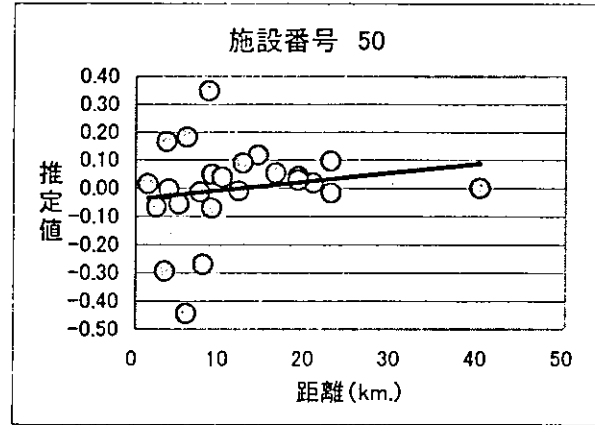
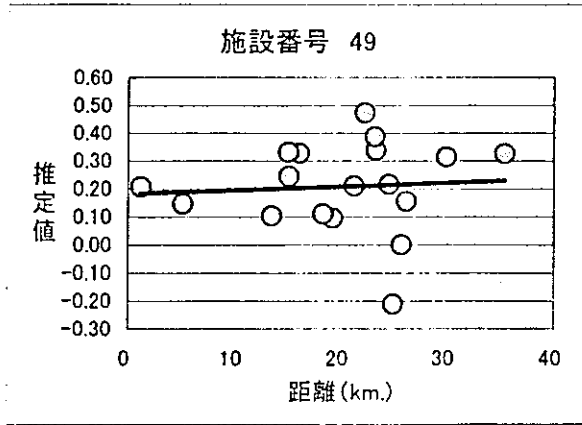
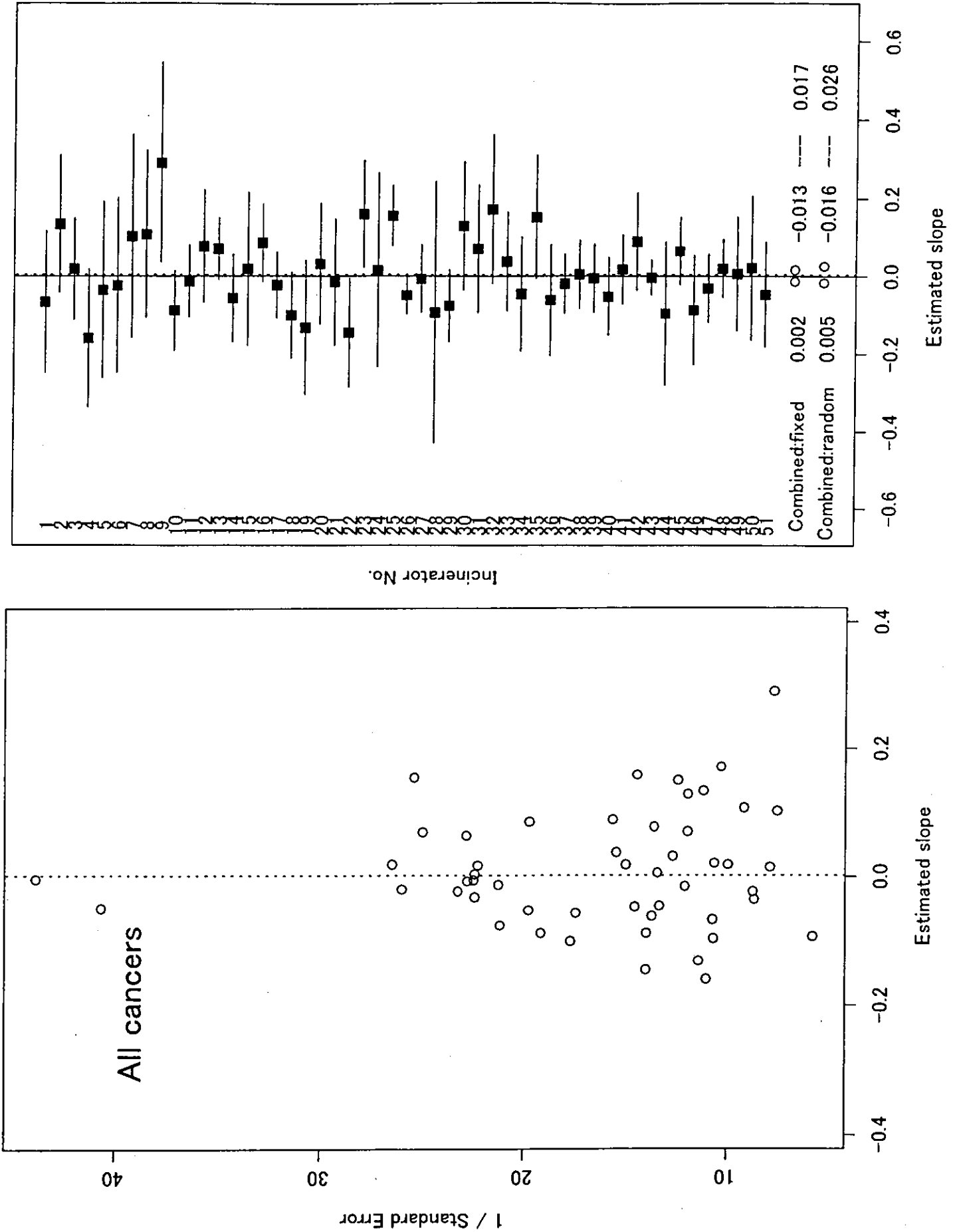
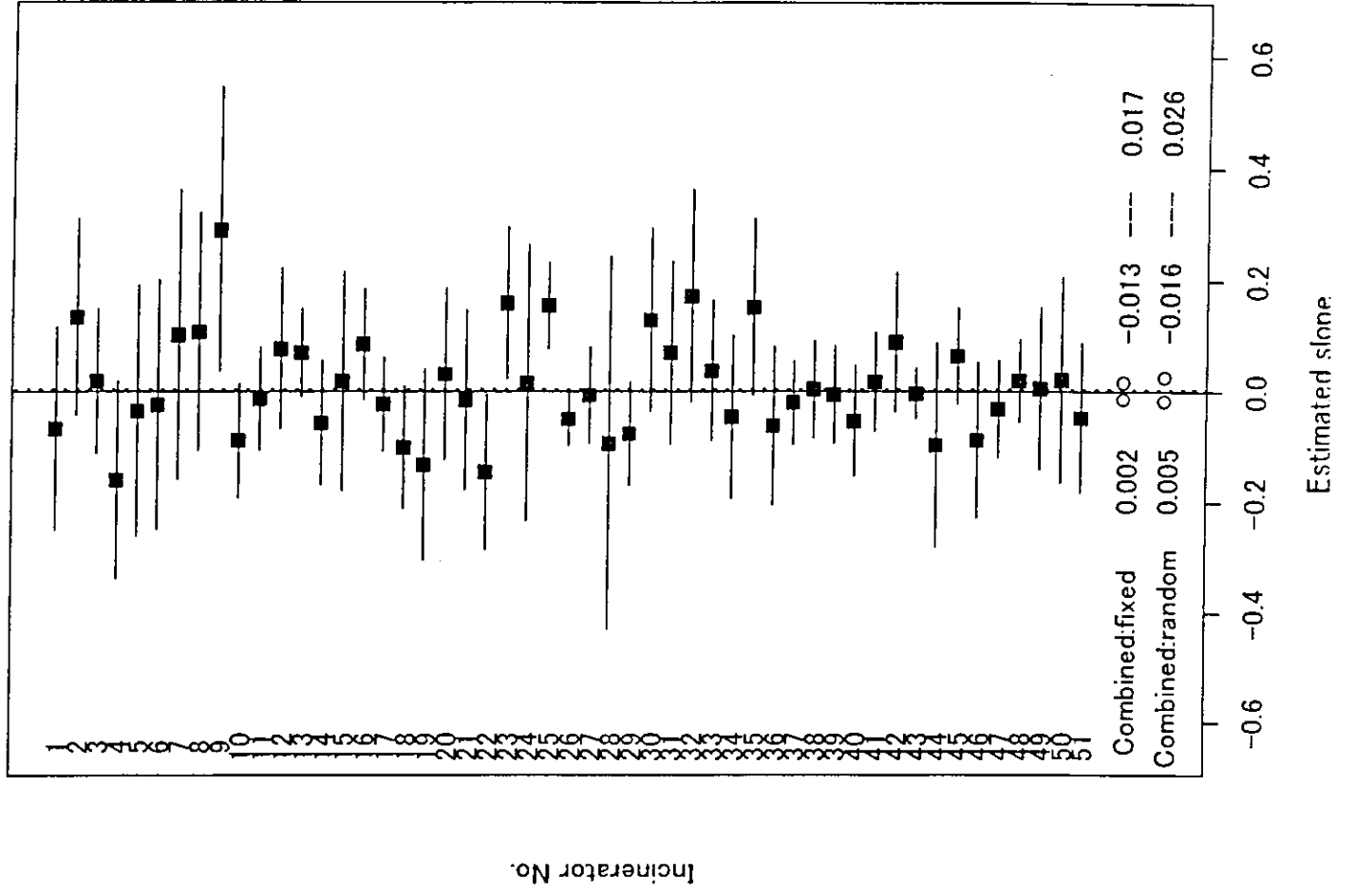
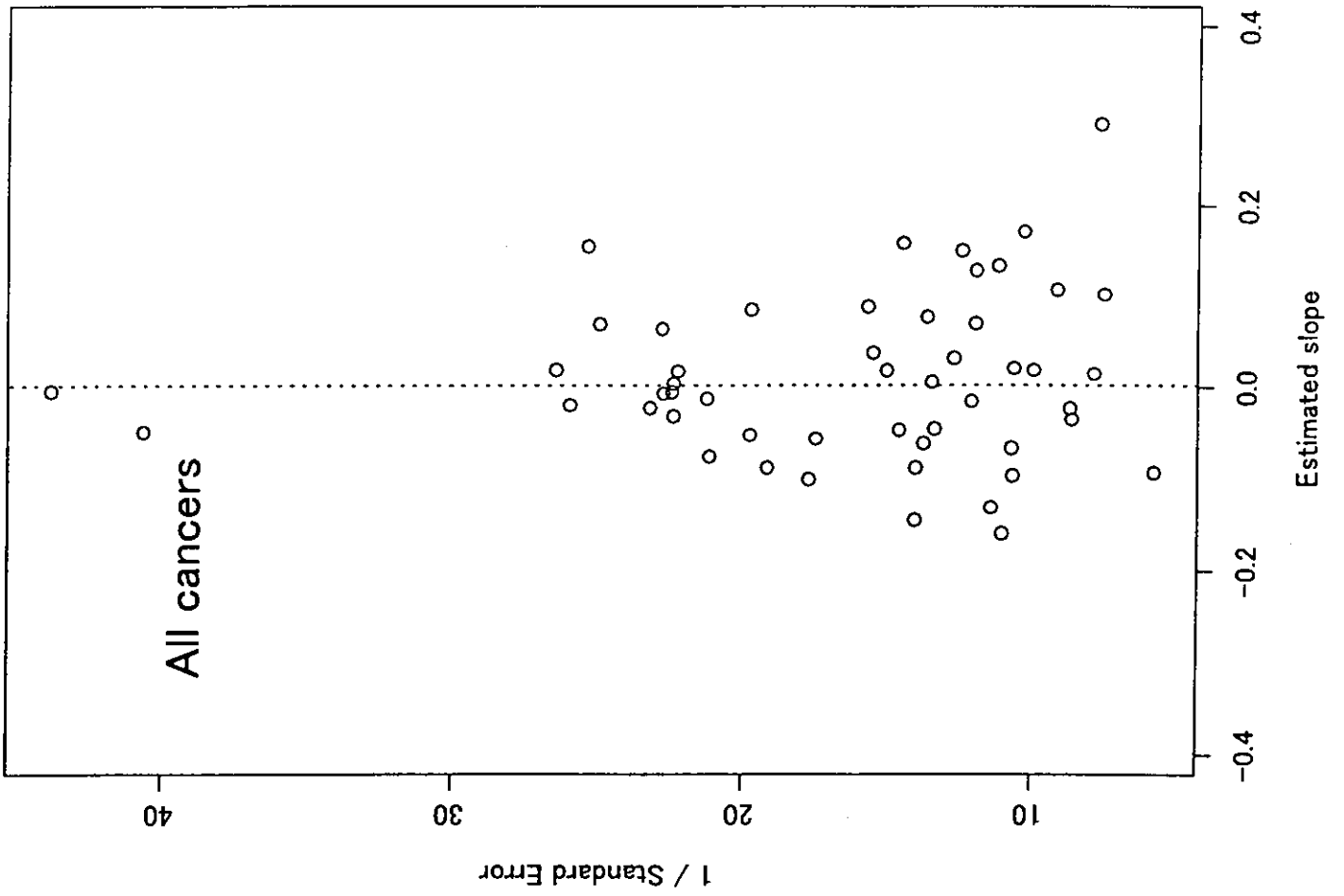
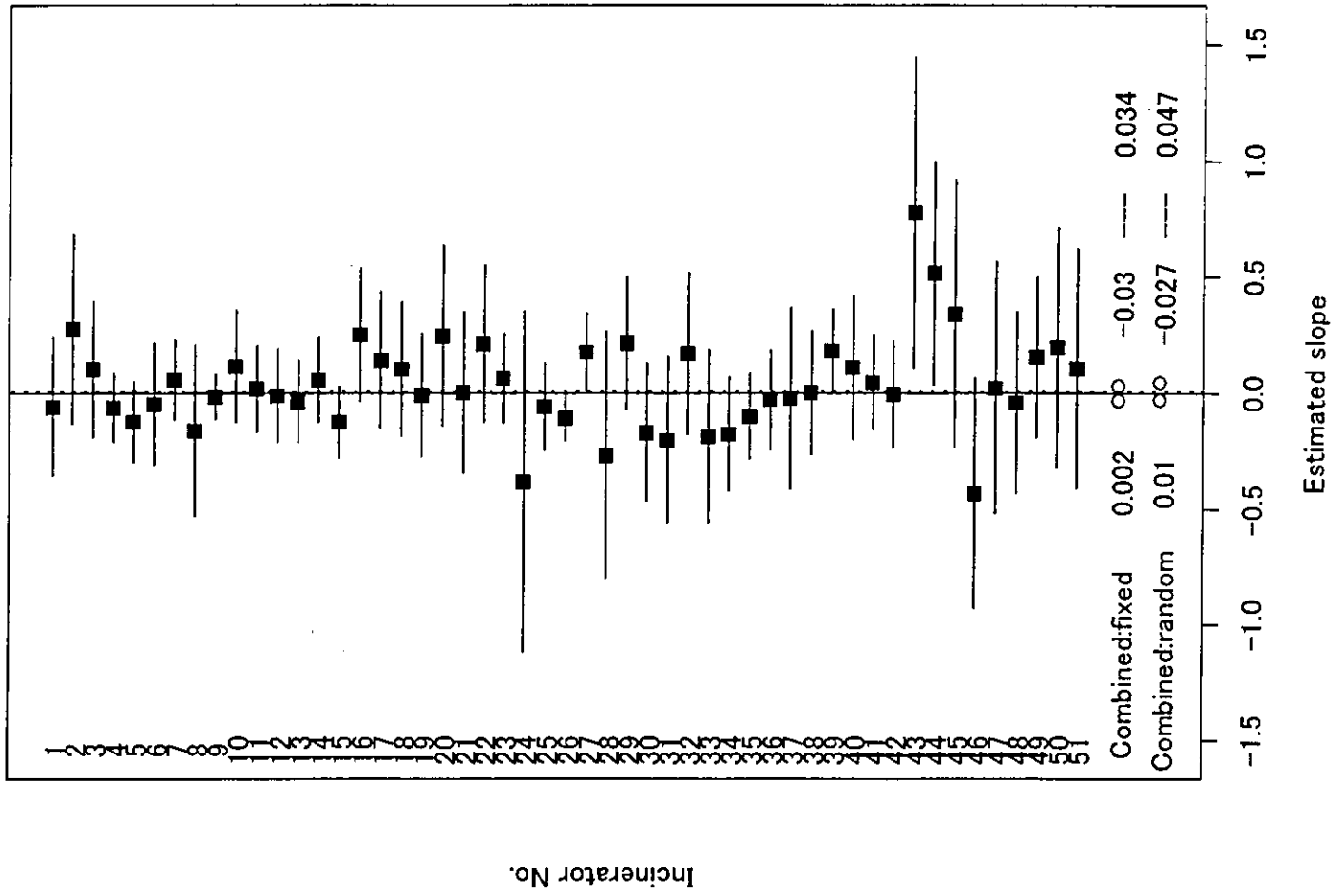
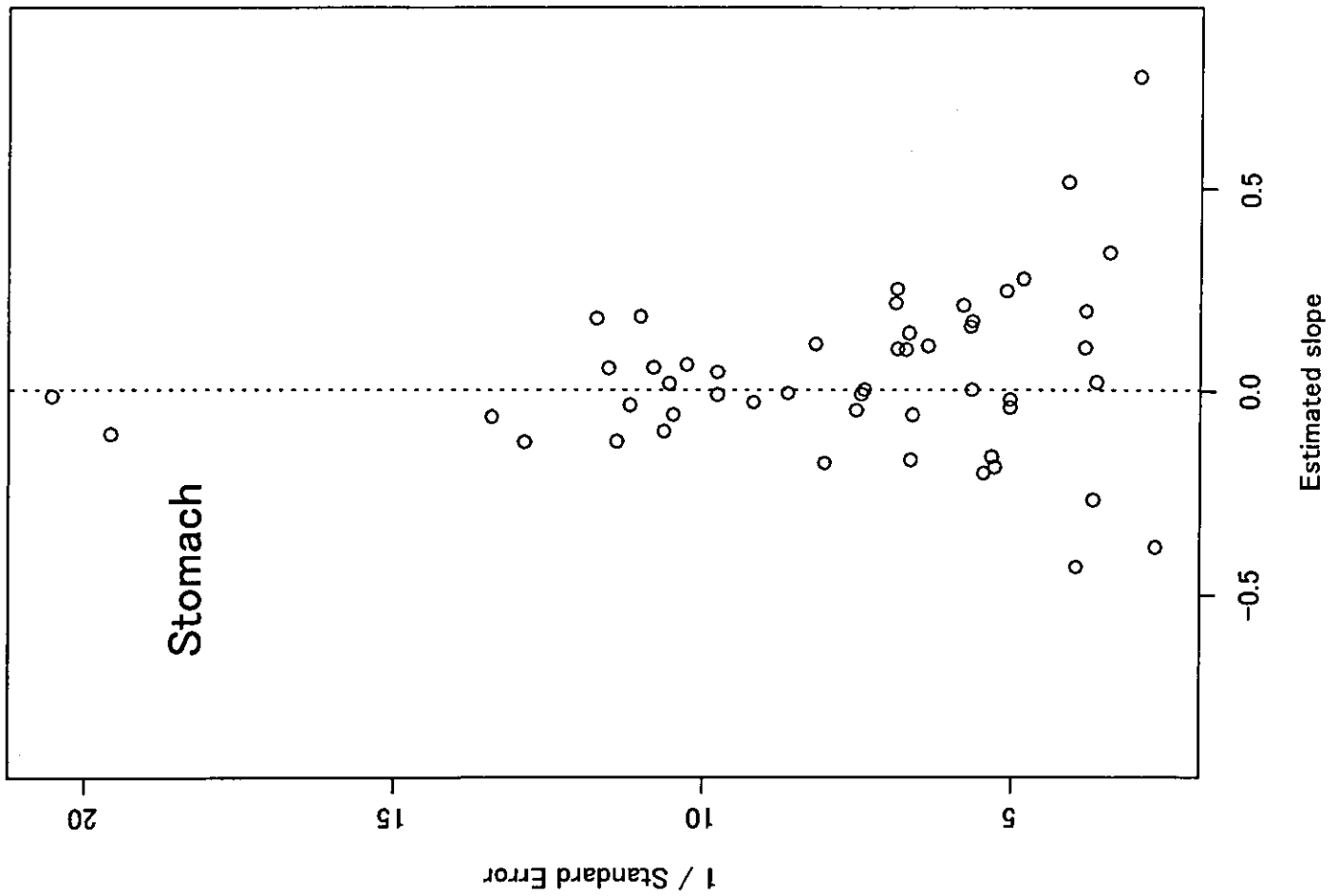
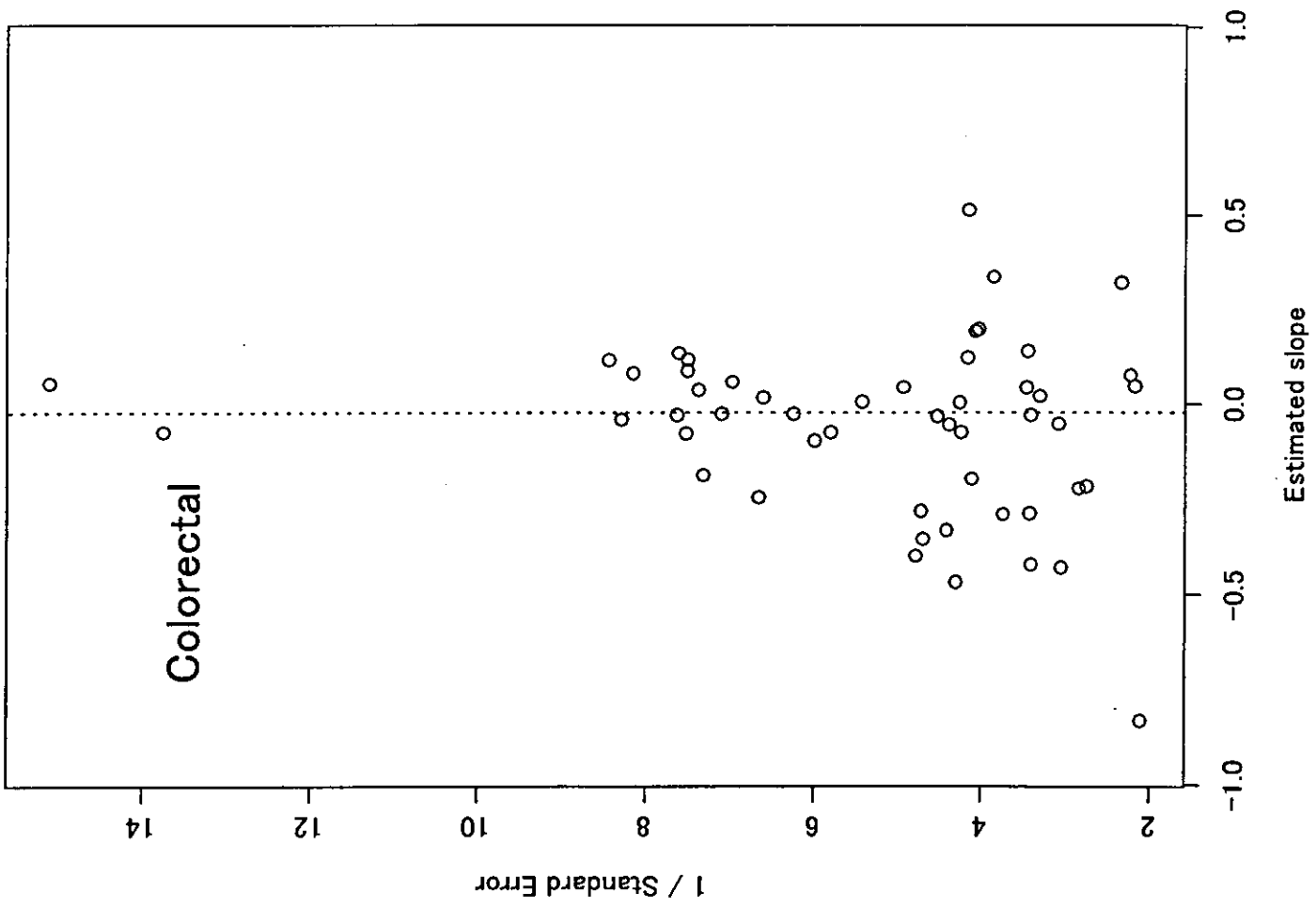
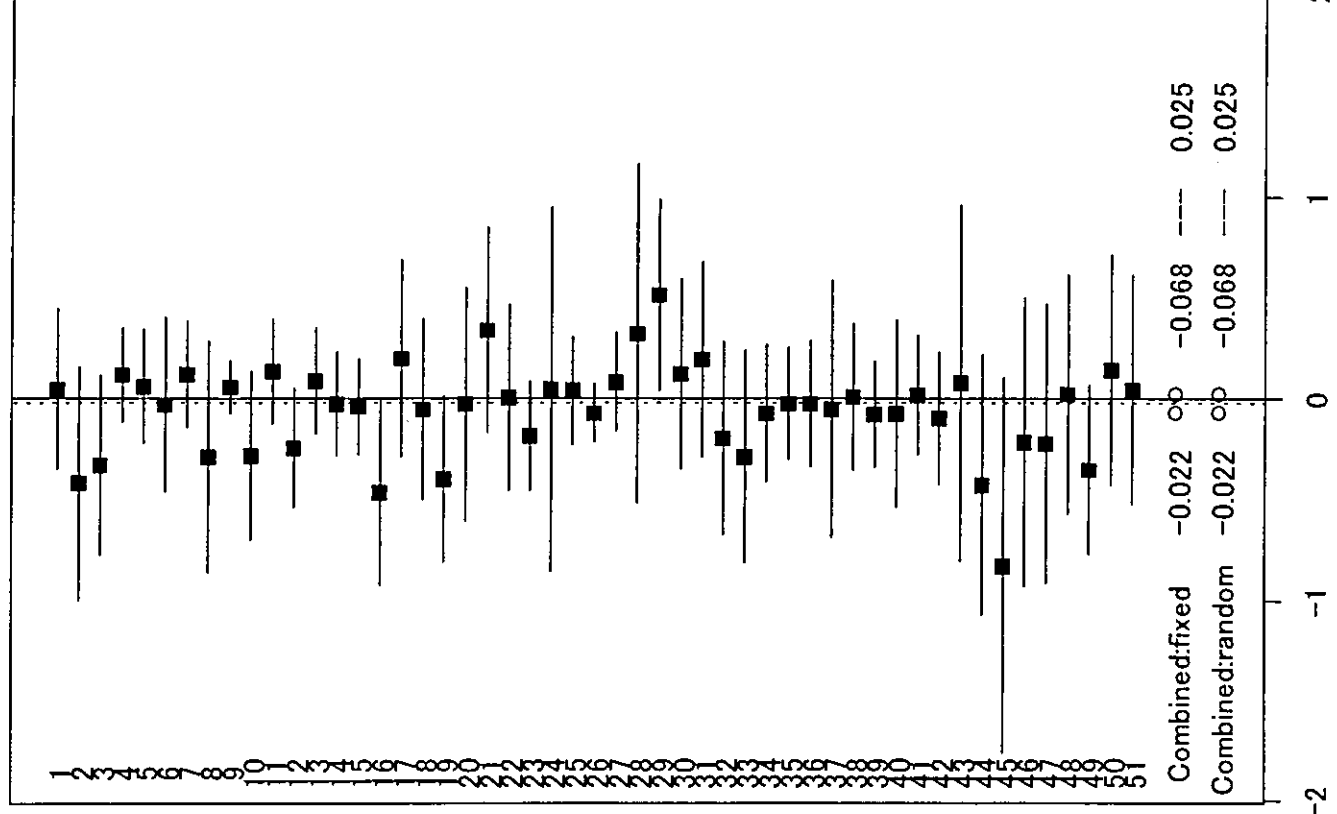


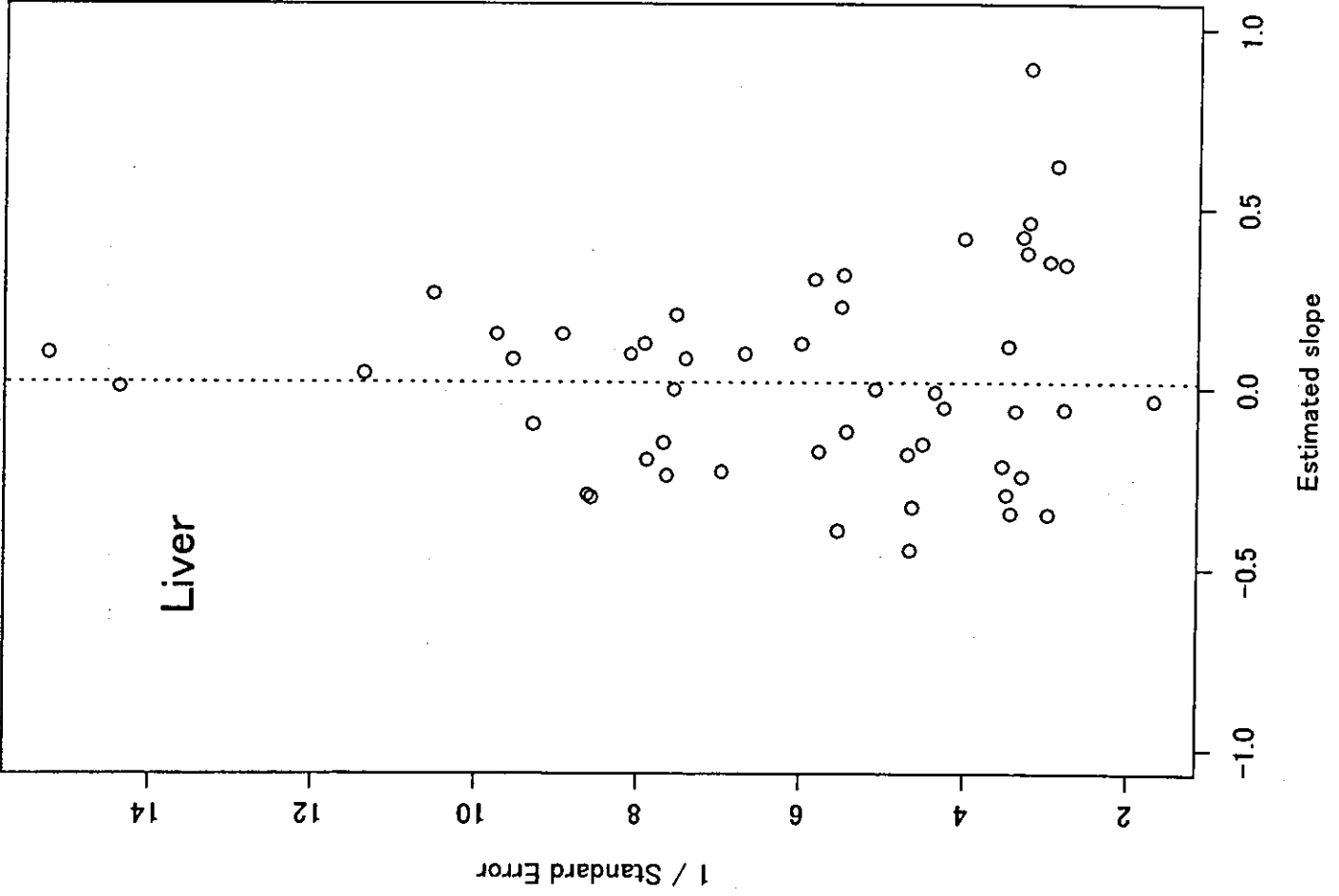
図4 13死因についてのメタ・アナリシスの結果。図4の左はfunnel plot、図4の右はメタアナリシスの統合推定値（施設毎の推定値、95信頼区間、母数モデル、変量モデルでの統合推定値）。











Incinerator No.

